

## ОБТЕКАНИЕ ПРОФИЛЕЙ ПОТОКОМ ДОЗВУКОВОЙ СКОРОСТИ СО СВЕРХЗВУКОВОЙ ЗОНОЙ, ОКОНЧИВАЮЩЕЙСЯ ПРЯМЫМ СКАЧКОМ УПЛОТНЕНИЯ

Ф. И. Франкль

(Фрунзе)

В экспериментальной работе Буземана<sup>[1]</sup> было впервые показано, что при обтекании профилей с местными сверхзвуковыми зонами последние оканчиваются скачками уплотнения. Наличие сверхзвуковых зон без скачков уплотнения никогда не наблюдалось. Впоследствии А. А. Никольский и Г. И. Таганов<sup>[2]</sup> объяснили этот факт, показав, что такого рода течения при малейшем изменении обтекаемого контура становятся, вообще говоря, невозможными (см. в связи с этим также работу автора<sup>[3]</sup>).

Наконец, автору в недавней работе<sup>[4]</sup> удалось построить пример течения в канале, в котором имеется сверхзвуковая зона, оканчивающаяся вниз по течению прямым скачком уплотнения. При этом сверхзвуковая зона граничит только с одной стенкой канала, а скачок уплотнения тем самым оканчивается внутри течения<sup>1</sup>.

На основании этого результата удастся сформулировать краевую задачу, решение которой дает обтекание профиля потоком дозвуковой скорости в бесконечности, постоянной по величине и направлению, обтекание, обладающее указанными выше свойствами в окрестности обтекаемого контура; это относится как к случаю отсутствия, так и к случаю наличия циркуляции.

Доказательство существования и единственности решения этих задач, а также эффективное их решение должны быть предметом дальнейших исследований.

При постановке задачи мы будем пользоваться методом голографа; во избежание некоторых характерных трудностей, возникающих, если допустить образования нулевых скоростей в точках разветвления потока на контуре (см. работы С. А. Христиановича и И. М. Юрьева<sup>[5, 6]</sup>), мы ограничимся случаем, когда эти точки разветвления являются точками возврата обтекаемого контура, так что скорости потока в этих точках остаются отличной от нуля.

Для предварительной ориентировки напомним сперва решение задачи обтекания кругового цилиндра потоком несжимаемой жидкости методом голографа, причем будем рассматривать отдельно случаи отсутствия и наличия циркуляции.

Пусть  $z$  — комплексная координата,  $\chi$  — комплексный потенциал и  $w = d\chi/dz$  — комплексная скорость. Предположим, что на бесконечности  $w$  имеет действительное постоянное значение  $w_1$ . Радиус обтекаемого цилиндра обозначим через  $R$ , циркуляцию — через  $\Gamma$ .

В случае отсутствия циркуляции имеем

$$\chi = w_1 \left( z + \frac{R^2}{z} \right), \quad w = w_1 \left( 1 - \frac{R^2}{z^2} \right) \quad (1)$$

Отсюда после исключения  $z$  получим

$$\chi = R w_1 \sqrt{\frac{w_1}{w_1 - w}} \left( 1 + \frac{w_1 - w}{w_1} \right) \quad (2)$$

<sup>1</sup> При этом оказалось существенным допустить наличие в сверхзвуковой зоне линии разрыва касательных скоростей, которая может быть ликвидирована учетом вязкости.

т. е. функция  $\chi(w)$  имеет в точке  $w_1$  степенную особенность порядка  $(w - w_1)^{-1/2}$ .

В случае наличия циркуляции имеем

$$\chi = w_1 \left( z + \frac{R^2}{z} \right) + \frac{\Gamma^2}{2\pi i} \ln z, \quad w = w_1 \left( 1 - \frac{R^2}{z^2} \right) + \frac{\Gamma}{2\pi i z} \quad (3)$$

После исключения  $z$  получим

$$\chi = \frac{\Gamma w}{4\pi i (w - w_1)} + \frac{2w_1 - w}{w - w_1} \sqrt{-\frac{\Gamma^2}{16\pi^2} - R^2 w_1 (w - w_1)} + \frac{\Gamma}{2\pi i} \left\{ \ln \left[ \frac{\Gamma}{4\pi i} + \sqrt{-\frac{\Gamma^2}{16\pi^2} - R^2 w_1 (w - w_1)} \right] - \ln (w - w_1) \right\} \quad (4)$$

Таким образом, функция  $\chi(w)$  имеет в этом случае две особые точки. Одна из них находится при

$$w = w_2 = w_1 - \frac{\Gamma^2}{16\pi^2 R^2 w_1} \quad (5)$$

Это — точка разветвления второго порядка, около которой функция  $\chi(w)$  остается ограниченной.

Другая особая точка получается при  $w = w_1$ . В ее окрестности будет

$$\chi = \frac{\Gamma}{2\pi i} \left[ \frac{w_1}{w - w_1} - \ln (w - w_1) \right] + \dots \quad (6)$$

Итак, в этой точке совмещены полюс и логарифмическая особенность. Коэффициенты при  $(w - w_1)^{-1}$  и при  $\ln (w - w_1)$  не являются независимыми, а должны быть соответственно  $\Gamma w_1 / 2\pi i$  и  $-\Gamma / 2\pi i$ . Как увидим ниже, эти соотношения существенны. Аналогичные соотношения имеют место также в случае сжимаемого газа при любой форме обтекаемого контура: в противном случае точка  $w = w_1$  была бы точкой разветвления<sup>1</sup> функции  $z(w)$ .

Что касается точки разветвления  $w_2$  функции  $\chi(w)$ , то она соответствует точке ускорения, равного нулю, и получается из условия

$$dw/dz = 0 \quad (7)$$

Будем в дальнейшем в случае  $\Gamma \neq 0$  ограничиваться такими контурами, для которых в пределах потока существует точно одна точка нулевого ускорения, отличная от  $z = \infty$ ; соответствующее значение  $w_2$  будем считать заданным.

В случае  $\Gamma = 0$  будем ограничиваться такими контурами, для которых единственной точкой нулевого ускорения является  $z = \infty$ , т. е.  $w = w_1$ . В этом случае наиболее простое решение получается для симметричного, симметрично обтекаемого профиля.

Перейдем к сжимаемому газу. Будем рассматривать сперва газ Трикоми-Фальковича<sup>[7]</sup>, т. е. будем считать, что функция тока  $\psi$  удовлетворяет уравнению

$$\eta_1 \frac{\partial^2 \psi}{\partial \theta^2} + \frac{\partial^2 \psi}{\partial \tau^2} = 0 \quad (8)$$

где  $\eta_1$  — функция модуля скорости ( $\eta_1 \geq 0$  при  $|w| \leq a^*$ ,  $a^*$  — критическая скорость), а  $\theta$  — угол наклона скорости.

<sup>1</sup> См. в связи с этим работу С. А. Христиановича<sup>[5]</sup>.

При этом предполагается существование потенциала скорости, что возможно, если пренебречь изменением удельной энтропии при прохождении линии тока через касательный разрыв и через скачок уплотнения.

Начнем с простейшего случая — симметричного обтекания симметричного профиля.

Для несжимаемой жидкости мы имели около точки

$$\chi(w) = \frac{c}{\sqrt{w-w_1}} + k \sqrt{w-w_1} \quad (9)$$

где  $c$  — действительная постоянная [см. уравнение (2)], т. е. если

$$w - w_1 = \rho e^{it} \quad (10)$$

то получим

$$\varphi + i\psi = c\rho^{-1/2} \left( \cos \frac{1}{2} t - i \sin \frac{1}{2} t \right) + O(\rho^{1/2})$$

$$\psi = -c\rho^{-1/2} \sin \frac{t}{2} + O(\rho^{1/2}) \quad (11)$$

Однако, если уравнения (8) переписать в виде

$$\frac{\partial^2 \psi}{\partial s^2} + \frac{\partial^2 \psi}{\partial \theta^2} + \frac{1}{3s} \frac{\partial \psi}{\partial s} = 0 \quad \left( s = \frac{2}{3} \eta^{3/2} \right) \quad (12)$$

и положить  $\theta = \rho \sin t$ ,  $s - s_1 = \rho \cos t$  вблизи точки годографа  $s = s_1$ ,  $\theta = 0$ , то существуют решения уравнения (12) вида [7]

$$\psi = \rho^{-1/2} \sin \frac{1}{2} t + O(\rho^{1/2}) \quad (13)$$

Искомое решение должно при  $s = s_1$ ,  $\theta = 0$  иметь особенность вида (13). Остальные краевые условия задаются следующим образом.

Пусть непосредственно за скачком уплотнения на обтекаемом контуре имеем (фиг. 1)

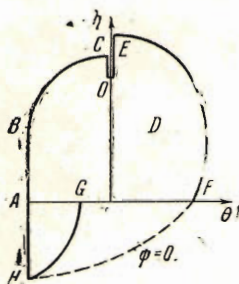
$$\theta = \theta_A < 0, \quad \eta = \eta_B > 0$$

$$\left( \eta_B < \sqrt[3]{\frac{9}{4} (\theta_F - \theta_A)^2} \right) \quad (14)$$

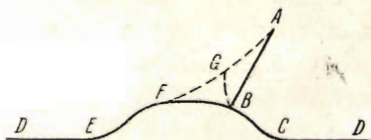
где  $\theta_A$ ,  $\eta_B$  заданы.

Тогда верхней половине течения соответствует область  $D$  плоскости  $\theta\eta$ , изображенная на фиг. 1, где  $AB$  соответствует задней (дозвуковой) стороне скачка уплотнения,  $AH$  — передней (сверхзвуковой) стороне скачка уплотнения, линия  $GH$  — характеристика уравнения (8), точка  $D$  соответствует скорости на бесконечности ( $\theta = 0$ ,  $\eta = \eta_1$ ), в этой точке должна иметь место особенность (13).

Точки  $C$  и  $E$  соответствуют передней и задней точкам возврата обтекаемого контура. Прямой отрезок  $FGA$  соответствует линии критических скоростей, а характеристика  $GH$  — линии возмущения, идущей в сверхзвуковой зоне от точки  $H$  вверх по течению (фиг. 2).



Фиг. 1



Фиг. 2

На указанных частях границы области  $D$  должны иметь место следующие краевые условия:

$$\psi = 0 \quad \text{на } BCDEF \quad (15)$$

$$\frac{\partial \psi}{\partial \theta} = 0 \quad \text{на } BAH \quad (16)$$

$$\psi(0, \eta) = \psi(0, -\eta) \quad (\theta < \eta_1 < \eta_B) \quad (17)$$

$$\psi(\theta, 0) = f(\theta) \quad \text{на } FC \quad (18)$$

где функция  $f(\theta)$  задается.

Решение и вместе с этим обтекаемый полуконтур ( $E, F, H = B, C$ ) определяются на основании краевых условий (13), (15) — (18) в области  $D$ . Условия (16), (17) вытекают из требования, чтобы скачок уплотнения  $HA$  был прямым (см. <sup>[14]</sup> 1). Легко доказать, что при наличии особенности (13) в точке  $D$  полупрямые  $DE$  и  $CD$  лежат на одной прямой и тем самым получается обтекание конечного, симметричного профиля.

В самом деле, если в окрестности точки  $D$  плоскости  $\theta s$  ввести полярные координаты  $\theta = \rho \sin t$ ,  $s - s_1 = \rho \cos t$ , то уравнения [С. В. Фальковича <sup>[8]</sup>] записываются в виде

$$\frac{\partial \varphi}{\partial \rho} = C \left(\frac{3}{2}s\right)^{1/3} \frac{\partial \psi}{\partial \rho t}, \quad \frac{\partial \varphi}{\partial t} = -C \left(\frac{3}{2}s\right)^{1/3} \frac{\partial \psi}{\partial \rho} \quad \left(C = \left(\frac{x+1}{2}\right)^{1/(x-1)}(x+1)^{1/3}\right) \quad (19)$$

Теперь нужно доказать, что при интегрировании по окружности бесконечно малого радиуса  $\rho$  вокруг точки имеем

$$\oint (dy + idy) = 0 \quad (20)$$

Обход точки  $D$  должен при этом быть двойным, чтобы получить полный обход профиля. Согласно известному соотношению С. А. Чаплыгина

$$\oint (dx + idy) = \oint \frac{e^{i\theta}}{w} \left( d\varphi + i \frac{\sigma_0}{\sigma} d\psi \right)$$

( $\sigma$  — плотность,  $\sigma_0$  — плотность при нулевой скорости). Далее имеем на рассматриваемой окружности согласно (13)

$$d\psi = \frac{1}{2} \rho^{-1/2} \cos \frac{1}{2} t dt + O(\rho^{1/2}) dt$$

$$d\varphi = \frac{1}{2} C \left(\frac{3}{2}s_1\right)^{1/3} \rho^{-1/2} \sin \frac{1}{2} t dt + O(\rho^{1/2}) dt$$

Но тогда

$$\begin{aligned} \oint (dx + idy) &= \frac{1}{w_1} \oint d\varphi + i \frac{\sigma_0}{\sigma_1 w_1} \oint d\psi + O(\rho^{1/2}) = \\ &= \text{const} \int_0^{4\pi} \cos \frac{1}{2} t dt + i \text{const} \int_0^{4\pi} \sin \frac{1}{2} t dt + O(\rho^{1/2}) \end{aligned}$$

Отсюда вытекает равенство (20).

В то время как годографы дуг  $EF$  и  $BC$  нами заранее заданы, годограф дуги  $FH$  заранее не задан, а получается уже после решения задачи как геометрическое место точек квадранта  $\theta > \theta_A$ ,  $\eta_1 < 0$ , где  $\psi = 0$  после продолжения решения в полуплоскость  $\eta < 0$ , что осуществляется однозначно в характеристическом треугольнике, опирающемся на отрезок

<sup>1</sup> Недавно Триллинг и Уокер <sup>[9]</sup> пытались дать решение подобной задачи, но они вовсе не учитывали условий на скачке уплотнения.

зок  $\eta = 0$ ,  $-(\theta_F - \theta_A) < \theta - \theta_A < \theta_F - \theta_A$ . Существенно при этом, чтобы получилась связная дуга  $\psi = 0$ , связывающая точки  $F, H$  внутри названного характеристического треугольника. При каких условиях это выполнено — пока не выяснено; повидимому, здесь играет существенную роль выбор функции  $f(\theta)$  [см. условие (1)].

На дуге  $FH$  плоскости  $(x, y)$  возникнут, вообще говоря, особенности того же типа, что в работе<sup>[4]</sup> автора, связанные с касательными разрывами в сверхзвуковой зоне.

Рассматриваемая краевая задача может быть приведена к линейному функциональному уравнению следующим образом. Задаемся сперва значениями  $\tau(\theta) = \psi(\theta, 0)$  при  $\theta_A < \theta < \theta_G$ . Тогда решение может быть найдено в эллиптической области, в частности могут быть найдены значения  $\psi(\theta_A, \eta)$  при  $0 < \eta < \eta_B$ , а также значения  $\nu(\theta) = \psi_\eta(\theta, 0)$  при  $\theta_A < \theta < \theta_G$ . Но вследствие условия (17) мы знаем тогда также значения  $\psi(\theta_A, \eta)$  при  $-\eta_B < \eta < 0$ . Но поскольку вследствие (17) мы имеем  $\partial\psi/\partial\theta = 0$  на  $AH$ , мы можем решить задачу Коши и найти  $\psi$  также на характеристике  $AI$ , что вместе со значениями  $\psi_\eta(\theta, 0)$  на  $AG$  дает возможность снова найти  $\tau(\theta)$  ( $\theta_A < \theta < \theta_G$ ).

Таким образом, получается линейный оператор функции  $\tau(\theta)$ , который снова дает  $\tau(\theta)$ ; существование и единственность решения этого функционального уравнения представляются вероятными.

Перейдем к случаю наличия циркуляции. В этом случае задача ставится (фиг. 3) в двулистной области  $ABCDCEGHA$  над плоскостью  $(\theta, \eta)$ .

Здесь в заданной точке  $\theta = \theta_2$ ,  $\eta = \eta_2$  должна быть точка разветвления второго порядка  $K$ , а годограф обтекаемого контура описывает вокруг этой точки петлю  $CDC$ .

В точке разветвления значение  $\psi(\theta_2, \eta_2)$  должно быть конечным.

Теперь заметим, что существуют фундаментальные решения уравнения (12) типа источника и типа диполя, вид которых соответственно будет

$$\psi_1 = \ln \rho + O(1), \quad \psi_2 = \frac{\cos t}{\varphi} + O(1) \quad (21)$$

По аналогии с уравнением (6) мы должны тогда в точке  $(0, \eta)$  иметь особенность вида

$$\psi = \alpha\psi_2 + \beta\psi_1 = \alpha \frac{\cos t}{\varphi} + \beta \ln \rho + O(1) \quad (22)$$

Коэффициенты при  $\psi_2$  и  $\psi_1$  определяются при этом требованием, чтобы было при обходе рассматриваемой особой точки

$$\oint d\varphi = \Gamma, \quad \oint \frac{e^{i\theta}}{w} \left( d\varphi + i \frac{\sigma_0}{\sigma} d\psi \right) = 0 \quad (23)$$

Для вычисления коэффициентов  $\alpha, \beta$  имеем

$$\begin{aligned} \oint \frac{e^{i\theta}}{w} \left( d\varphi_2 + i \frac{\sigma_0}{\sigma} d\psi_1 \right) &= \frac{1}{w_1} \oint \left( d\varphi_2 + i \frac{\sigma_0}{\sigma_1} d\psi_2 \right) + \frac{i}{w_1} \oint \left( \theta d\varphi_2 + i \frac{\sigma_0}{\sigma_1} \theta d\psi_2 \right) + \\ &+ \oint \left[ \frac{d}{ds} \left( \frac{1}{w} \right)_{s=s_1} (s-s_1) d\varphi_2 + i \frac{d}{ds} \left( \frac{\sigma_0}{w} \right)_{s=s_1} (s-s_1) d\psi_2 \right] + O(\rho) \end{aligned}$$

В газе Трикоми-Фальковича имеем [7]

$$\frac{d}{ds} \left( \frac{\sigma_0}{\sigma w} \right) = \left( \frac{3}{2} s \right)^{1/3} \frac{C}{w}, \quad \frac{d}{ds} \left( \frac{1}{w} \right) = \frac{1}{C} \left( \frac{3}{2} s \right)^{-1/3} \frac{\sigma_0}{\sigma w}$$

Отсюда получим далее

$$\begin{aligned} \oint \frac{e^{i\theta}}{w} (d\varphi_2 + i \frac{\sigma_0}{\sigma} d\psi_2) &= \text{const} \oint \frac{\cos t}{\rho} dt + i \text{const} \oint \frac{\sin t}{\rho} dt + \\ &+ i \text{const} \oint \sin t \cos t dt + \frac{\sigma_0}{\sigma_1 w_1} \oint \sin^2 t dt + \frac{\sigma_0}{\sigma_1 w_1} \oint \cos^2 t dt + \\ &+ i \text{const} \oint \sin t \cos t dt + O(\rho) \end{aligned}$$

и окончательно

$$\oint \frac{e^{i\theta}}{w} (d\varphi_2 + i \frac{\sigma_0}{\sigma} d\psi_2) = 2\pi \frac{\sigma_0}{\sigma_1 w_1} \quad (24)$$

Далее

$$\oint \frac{e^{i\theta}}{w} (d\varphi_1 + i \frac{\sigma_0}{\sigma} d\psi_1) = \frac{1}{w_1} \oint d\varphi_1 + O(\rho) = -\frac{C}{w_1} \left( \frac{3}{2} s_1 \right)^{1/3} \oint dt + O(\rho)$$

так что

$$\oint \frac{e^{i\theta}}{w} (d\varphi_1 + i \frac{\sigma_0}{\sigma} d\psi_1) = \frac{C}{w_1} \oint d\varphi_1 = -\frac{2\pi C}{w_1} \left( \frac{3}{2} s_1 \right)^{1/3} \quad (25)$$

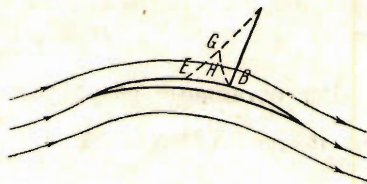
Но из (22) — (25) следует

$$\beta = -\frac{\Gamma}{2\pi C \left( \frac{3}{2} s_1 \right)^{1/3}}, \quad \alpha = -\frac{\Gamma \sigma_2}{2\pi \sigma_0} \quad (26)$$

Данный результат относится, и к чисто дозвуковому обтеканию.

Кроме условия (23) и требования конечности функции  $\psi$ , в точке разветвления должны быть выполнены условия

$$\begin{aligned} \psi &= 0 \quad \text{на } BCDC E, \quad \partial\psi / \partial\theta = 0 \quad \text{на } BAH \\ \psi(0, \eta) &= \psi(0, -\eta) \quad \text{на } BAH \quad (27) \\ \psi(\theta, 0) &= f(\theta) \quad \text{при } \theta_G < \theta < \theta_E \quad (28) \end{aligned}$$



Фиг. 4

И в случае этой задачи получим для  $\psi(\theta, 0)$  ( $\theta_A < \theta < \theta_G$ ) линейное функциональное уравнение того же типа, как и выше. В плоскости  $x\eta$  получится обтекание профиля вида, изображенного на фиг. 4.

Точки разветвления линий тока (т. е. передняя и задняя кромки профиля) будут соответствовать таким точкам линии  $BCDC E$ , в которых  $\partial\psi / \partial\theta = \partial\psi / \partial\eta = 0$ . Их появление неизбежно, так как в противном случае угол  $\theta$  при обходе обтекаемого контура возрастал бы на  $2\pi$  и не вернулся бы к первоначальному значению, как это имеет место по условиям задачи.

Следует отметить, что при таком задании условий задачи (как и в предыдущей задаче) не исключено частичное взаимное перекрытие «верхней половины» и «нижней половины» потока, т. е. областей  $\psi > 0$  и  $\psi < 0$ . Это значит, что не при любых заданных годографах профиля, значениях  $\eta_1, \eta_2, \theta_2$ , циркуляции  $\Gamma$  и функции  $f(\theta)$  получится физически реальный профиль крыла.

Нужно также иметь в виду, что существование точки разветвления  $K$  при циркуляционном обтекании не обязательно: для некоторых профилей область  $ABCDCEGHA$  плоскости  $(\theta, \eta)$  может быть однолистной.

В случае бесциркуляционного обтекания несимметричного профиля задача отличается от предыдущей лишь тем, что имеется только одна особая точка, а именно точка разветвления второго порядка при  $\theta = 0$ ,  $\theta = \theta_1$  вида

$$\psi = \rho^{-1/2} (a \cos \frac{1}{2} + b \sin \frac{1}{2} t) + C + O(\rho^{1/2}) \quad (29)$$

Все сказанное выше легко переносится на произвольный газ, т. е. на уравнения С. А. Чаплыгина.

При этом третье условие (27) должно быть заменено условием

$$\psi(0, \eta) = \psi(0, \bar{\eta}) \quad \text{на ВАИ} \quad (30)$$

где  $\bar{\eta} = \bar{\eta}(\eta)$  — значение величины  $\eta$  на противоположной стороне скачка.

Вместо уравнения (19) будем иметь уравнения Л. С. Лейбензона [10]

$$\frac{\partial \varphi}{\partial \rho} = V \bar{K} \frac{\partial \varphi}{\rho \partial t} \quad \frac{\partial \varphi}{\rho \partial t} = -V \bar{K} \frac{\partial \psi}{\partial \rho} \quad (31)$$

где  $K$  — функция С. А. Чаплыгина:

$$K = \left(\frac{\sigma_0}{\sigma}\right)^2 (1 - M^2), \quad s = \int_w^{a^*} V \sqrt{1 - M^2} \frac{dw}{w} \quad \left(M = \frac{w}{a}\right) \quad (32)$$

Тогда будет

$$\frac{d}{ds} \left(\frac{\sigma_0}{\sigma w}\right) = \frac{V \bar{K}}{w}, \quad \frac{d}{ds} \left(\frac{1}{w}\right) = \frac{1}{V \bar{K}} \frac{\sigma_0}{\sigma w} \quad (33)$$

Выкладки, аналогичные предыдущим, дают в случае циркуляционного течения вместо (36)

$$\beta = -\frac{\Gamma}{2\pi V K_1}, \quad \alpha = -\frac{\Gamma}{2\pi} \frac{\sigma_1}{\sigma_0} \quad (34)$$

Все остальные результаты остаются без изменения.

Поступила 21 XI 1955

#### ЛИТЕРАТУРА

1. В и с е м а н н А. Widerstand bei Geschwindigkeiten nahe der Schallgeschwindigkeit, Vortrag auf dem 3 internationalen Kongress für technische Mechanik, Stockholm, 1930
2. Н и к о л ь с к и й А. А., Т а г а н о в Г. И. Движение газа в местной сверхзвуковой зоне и некоторые условия разрушения потенциального течения. ПММ, т. X, вып. 4, 1946.
3. Ф р а н к л ь Ф. И. К образованию скачков уплотнения в дозвуковых течениях с местными сверхзвуковыми скоростями. ПММ, т. XI, № 1, 1947.
4. Ф р а н к л ь Ф. И. Пример околосзвукового течения газа с областью сверхзвуковых скоростей, ограниченной вниз по течению скачком уплотнения, оканчивающимся внутри течения. ПММ, т. XIX, вып. 4, 1955.
5. Х р и с т и а н о в и ч С. А. Обтекание тел газом при больших дозвуковых скоростях. Труды ЦАГИ, вып. 481, 1940.
6. Х р и с т и а н о в и ч С. А., Ю р ь е в И. М. Обтекание профиля при докритической скорости потока. ПММ, т. XI, вып. 1, 1947.
7. Ф а л ь к о в и ч С. В. Об одном семействе сопел Лавалия. ПММ, т. XI, № 2, 1947.
8. Ф а л ь к о в и ч С. В. К теории сопел Лавалия. ПММ, т. X, № 4, 1946.
9. T r i l l i n g L., W a l k e r K. On transsonic flow past a finite wedge. J. Math. and Phys., vol. 32, № 1, 1953
10. Л е й б е н з о н Л. С. О теории движения газов. ДАН, № 9, 1935.